2015年5月30日 小笠原諸島西方沖の地震 - 遠地実体波による震源過程解析(暫定)-(その1)

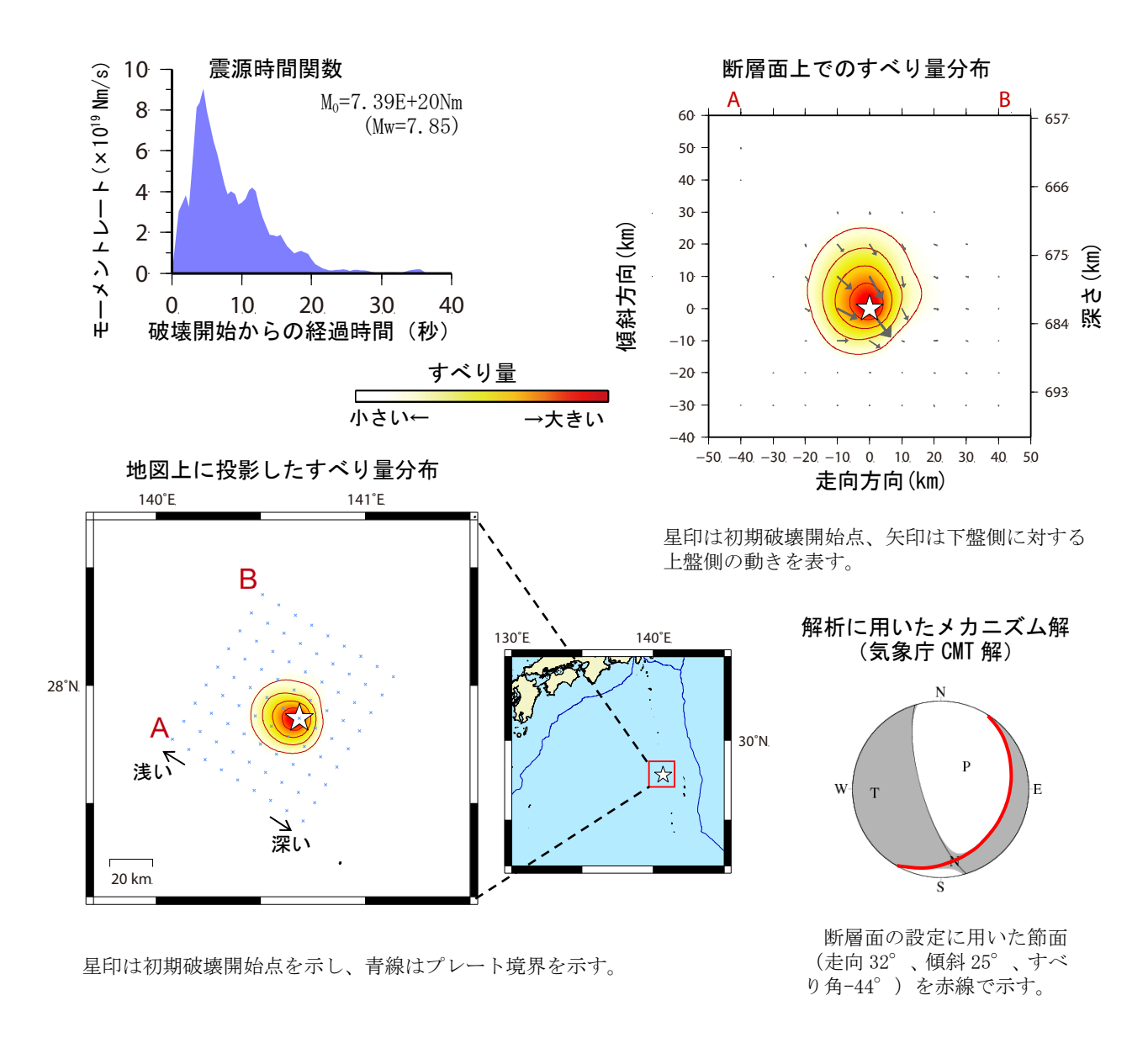
2015年5月30日20時23分に小笠原諸島西方沖で発生した地震について、米国地震学連合(IRIS)のデータ管理センター(DMC)より広帯域地震波形記録を取得し、遠地実体波を用いた震源過程解析(注1)を行った。

初期破壊開始点は、気象庁による震源の位置(27°51.6′N、140°40.9′E、深さ 682km)とした。断層面は、気象庁 CMT 解の 2 枚の節面のどちらを仮定しても解析結果に大きな差はなかった。今回は低角に傾斜する節面(走向 32°、傾斜 25°)を断層面とした。最大破壊伝播速度は 2.0km/s とした。理論波形の計算には IASP91(Kennett and Engdahl, 1991)の地下構造モデルを用いた。

主な結果は以下のとおり(この結果は暫定であり、今後更新することがある)。

- ・断層の大きさは走向方向に約40km、傾斜方向に約40kmであった。
- ・主なすべりは初期破壊開始点付近にあり、最大すべり量は 6.6m であった (周辺の構造から剛性率を 160GPa として計算)。
- ・主な破壊継続時間は約20秒であった。
- ・モーメントマグニチュード (Mw) は7.9であった。

結果の見方は、http://www.data.jma.go.jp/svd/eqev/data/world/about_srcproc.html を参照。

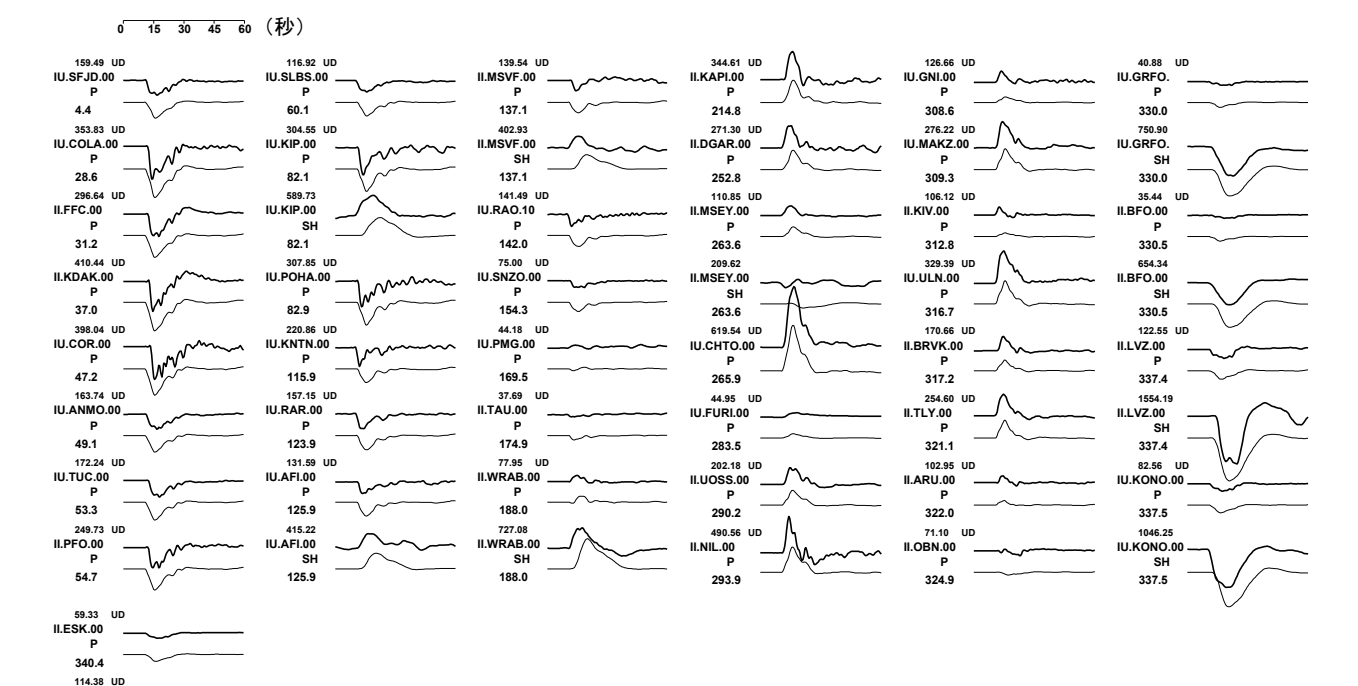


(注1)解析に使用したプログラム

M. Kikuchi and H. Kanamori, Note on Teleseismic Body-Wave Inversion Program, http://www.eri.u-tokyo.ac.jp/ETAL/KIKUCHI/

作成日:2015/06/12

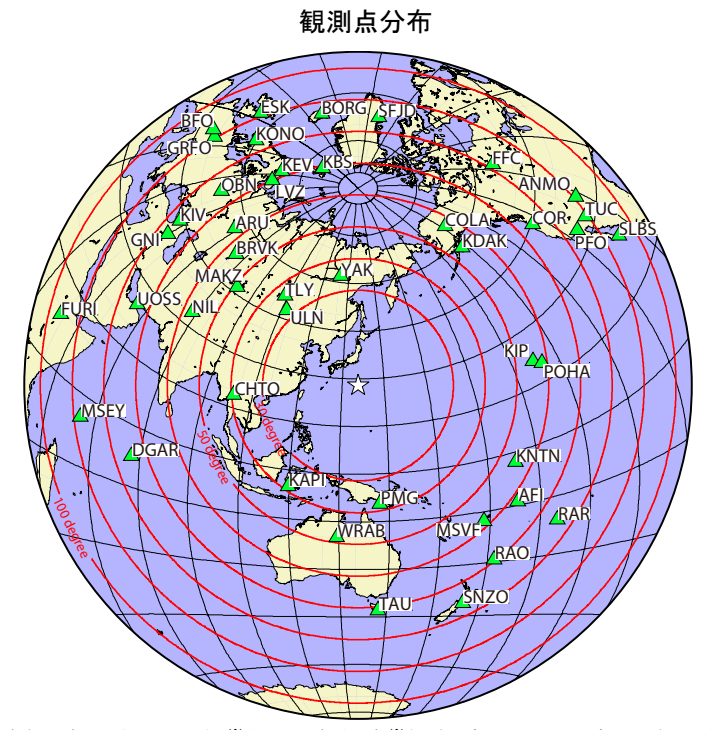
観測波形 (上: 0.002Hz-0.5Hz) と理論波形 (下)の比較



156.52 UD IU.KBS.00 9 350.8 1091.53 IU.KBS.00 SH 350.8 200.83 UD IU.YAK.00 P 351.0 III.BORG.00 P 9 352.4 88.52 II.BORG.00 SH 352.4

IU.KEV.00 P 340.5

残差 0.2176



震央距離 $30^{\circ} \sim 100^{\circ} * ^{1}$ の 44 観測点 *2 (P 波:44、SH 波:11) を使用。 ** 1:近すぎると理論的に扱いづらくなる波の計算があり、逆に遠すぎると、液体である外核を通るため、直達波が到達しない。そのため、評価しやすい距離の波形記録のみを使用。

※2: IRIS-DMCより取得した広帯域地震波形記録を使用。

参考文献

Kennett, B. L. N. and E. R. Engdahl, 1991, Traveltimes for global earthquake location and phase identification, Geophys. J. Int., 105, 429-465.

2015年5月30日 小笠原諸島西方沖の地震 - 遠地実体波による震源過程解析(暫定)-(その2)

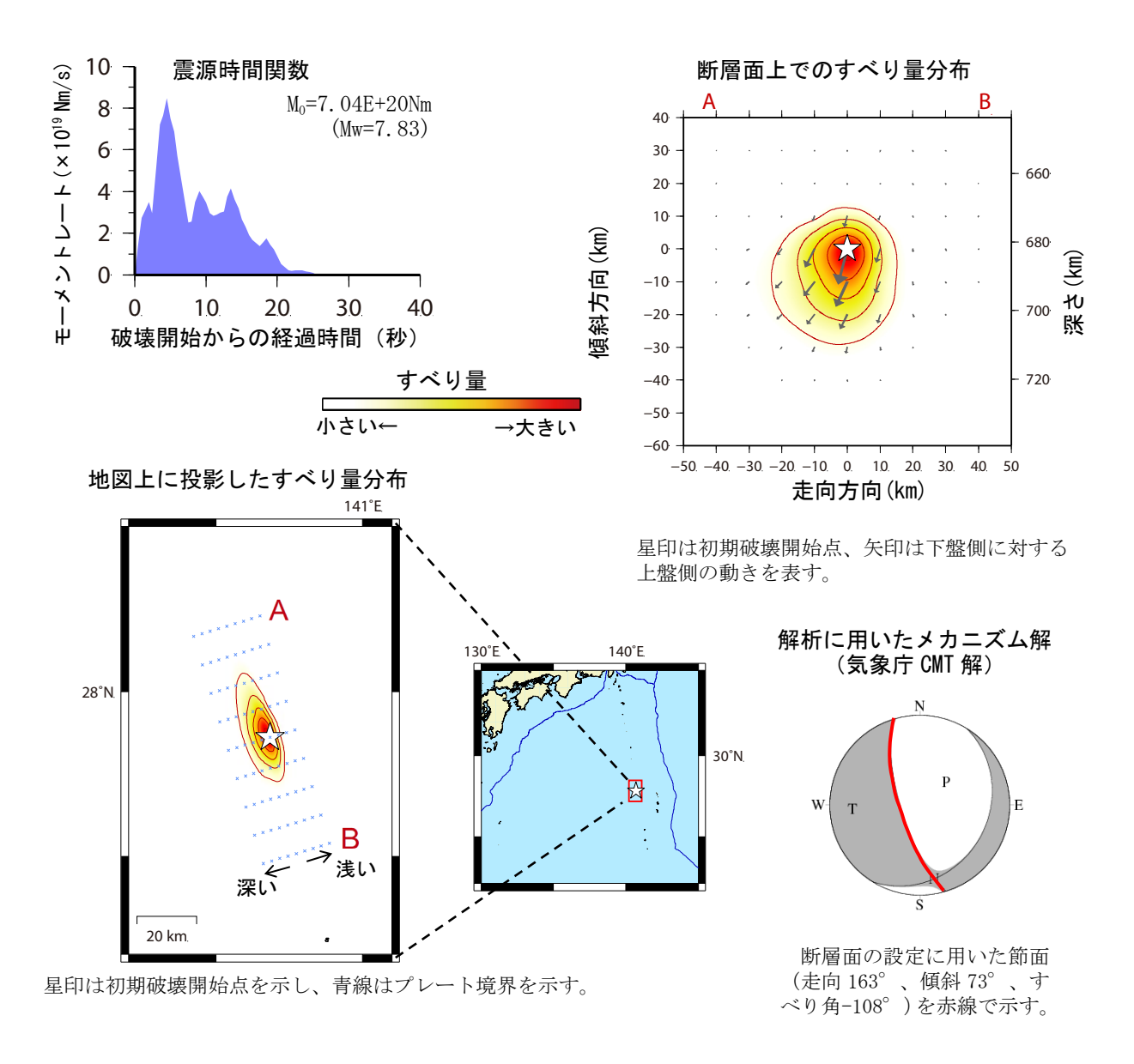
2015年5月30日20時23分に小笠原諸島西方沖で発生した地震について、米国地震学連合(IRIS)のデータ管理センター(DMC)より広帯域地震波形記録を取得し、遠地実体波を用いた震源過程解析(注1)を行った。

初期破壊開始点は、気象庁による震源の位置(27°51.6′N、140°40.9′E、深さ 682km)とした。断層面は、気象庁 CMT 解の 2 枚の節面のどちらを仮定しても解析結果に大きな差はなかった。今回は高角に傾斜する節面(走向 163°、傾斜 73°)を断層面とした。最大破壊伝播速度は 2.0 km/s とした。理論波形の計算には IASP91(Kennett and Engdahl, 1991)の地下構造モデルを用いた。

主な結果は以下のとおり (この結果は暫定であり、今後更新することがある)。

- ・断層の大きさは走向方向に約40km、傾斜方向に約40kmであった。
- ・主なすべりは初期破壊開始点付近にあり、最大すべり量は 5.9m であった (周辺の構造から剛性率を 160GPa として計算)。
- ・主な破壊継続時間は約20秒であった。
- ・モーメントマグニチュード (Mw) は7.8であった。

結果の見方は、http://www.data.jma.go.jp/svd/eqev/data/world/about_srcproc.html を参照。

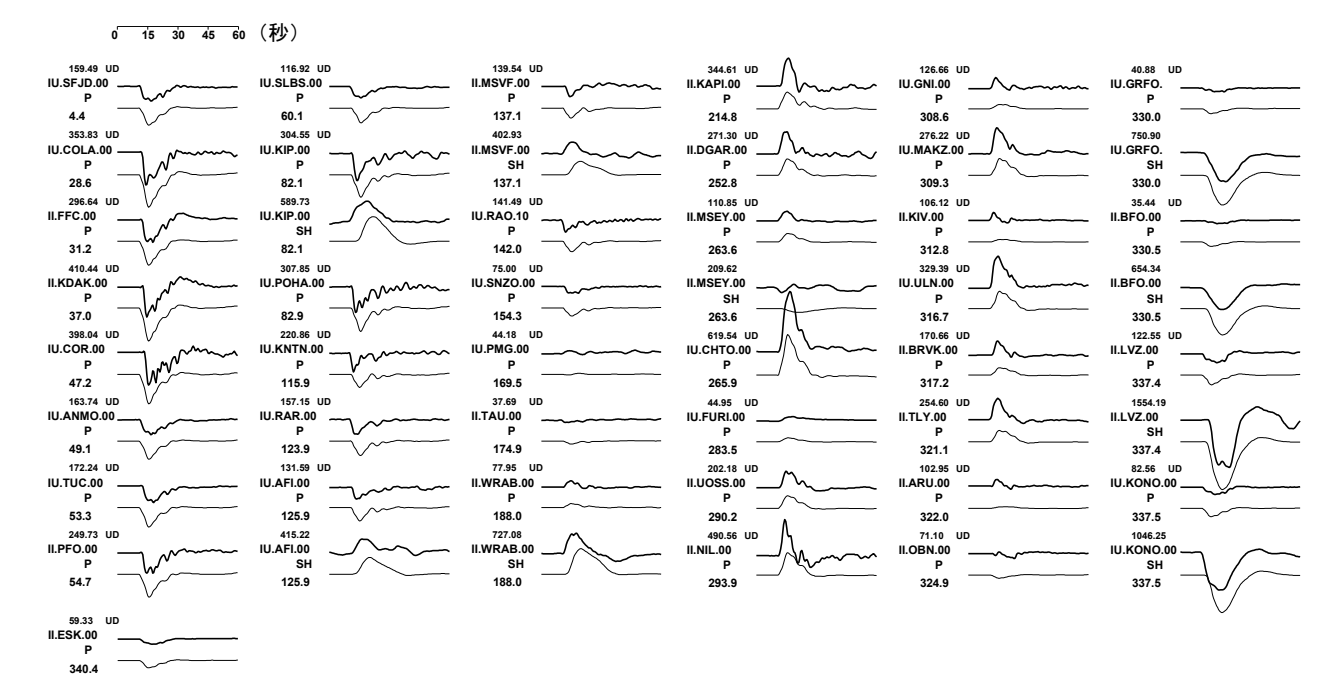


(注1)解析に使用したプログラム

M. Kikuchi and H. Kanamori, Note on Teleseismic Body-Wave Inversion Program, http://www.eri.u-tokyo.ac.jp/ETAL/KIKUCHI/

作成日:2015/06/12

観測波形 (上: 0.002Hz-0.5Hz) と理論波形 (下)の比較



114.38 UD 1U.KEV.00 P 340.5 156.52 UD 1U.KBS.00 P 350.8 1091.53 1U.KBS.00 SH 350.8 200.33 UD 1U.YAK.00 P 351.0 108.95 UD 1II.BORG.00 P 352.4 886.52 II.BORG.00 SH 352.4

残差 0.2408



震央距離 $30^{\circ} \sim 100^{\circ} * ^{*1}$ の 44 観測点 *2 (P 波: 44、SH 波: 11) を使用。 ** 1: 近すぎると理論的に扱いづらくなる波の計算があり、逆に遠すぎると、液体である外核を通るため、直達波が到達しない。そのため、評価しやすい距離の波形記録のみを使用。

※2:IRIS-DMCより取得した広帯域地震波形記録を使用。

参考文献

Kennett, B. L. N. and E. R. Engdahl, 1991, Traveltimes for global earthquake location and phase identification, Geophys. J. Int., 105, 429-465.